

BRIEF REPORT

The Ability of Azolla and Lemna Minor Biomass for Adsorption of Phenol From aqueous Solutions

Ramezan-Ali Dyanati-Tilaki¹,
Zabihallah Yousefi¹,
Jamshid Yazdani-Cherati²,
Davoud Balarak³

¹ Associate Professor, Department of Environmental Health Engineering, Health Sciences Research Center, School of Health, Mazandaran University of Medical Sciences, Sari, Iran

² Assistant Professor, Department of Biostatistics, Health Sciences Research Center, Mazandaran University of Medical Sciences, Sari, Iran

³ MSc Student in Environmental Health Engineering, Student Research Committee, School of Health, Mazandaran University of Medical Sciences, Sari, Iran

(Received June 29, 2013; Accepted October 5, 2013)

Abstract

Background and purpose: The presence of phenol and its derivatives in water and wastewater are of major concern because of their toxicity and threat to human life and environment. The aim of this study was determination of the modified lemma minor and azolla in phenol adsorption.

Materials and methods: In this emperical-lab study, the washed lemma minor and azolla was used as adsorbents. The effect of vatiouss parameters on adsorbents performance was investigated. The concentration of phenol was measured by high-performance liquid chromatography (HPLC). Also, data were fitted with variety isotherm and kinetic models.

Results: The phenol adsorption rate increased by increasing of contact time and adsorbent dose in both adsorbents; however, the phenol adsorption per each gram of adsorbents (q_e) decreased. The adsorption efficieny increased by decreasing intial phenol concentration. With increasing of solution pH, removal efficiency decreased and optimum pH was 3. Adsorption isotherm data showed that the phenol sorption followed the Langmuir. Kinetics of sorption was well described by pseudo-second order model.

Conclusion: The lemma minor and azolla can be used as effective and low-cost adsorbents to organic compounds removal from industrial effluents. Although due to adventages such as more plenty and higher ability in phenol removal, the azolla is the best adsorbnet.

Keywords: Azolla and lemna minor biomass, phenol, isotherms model, adsorption

J Mazand Univ Med Sci 2013; 23(106): 141-6 (Persian).

بررسی قابلیت بیومس آزولا و عدسک در جذب فل از محیط‌های آبی

 رمضانعلی دیاتی تیلکی^۱ذبیح‌اله یوسفی^۱جمشید یزدانی چراتی^۲داؤد بلارک^۳

چکیده

سابقه و هدف: حضور فل در آب و فاضلاب به دلیل سمیت و تهدیدی که برای زندگی انسان و محیط زیست دارد، یک نگرانی عمده محسوب می‌گردد. بنابراین، هدف از این تحقیق بررسی جذب فل توسط عدسک و آزولا اصلاح شده بود.

مواد و روش‌ها: در این مطالعه تجربی-آزمایشگاهی، از گیاه عدسک و آزولا ای شستشو شده با اسید به عنوان جاذب جهت حذف فل استفاده شد. تأثیر متغیرهای مختلف بر عملکرد جاذب بررسی شد. غلظت فل به روش High-performance liquid chromatography (HPLC) اندازه‌گیری شد. همچنین ایزوترم‌ها و سینتیک‌های جذب تعیین شد.

یافته‌ها: با افزایش دوز جاذب و زمان تماس، راندمان جذب با هر دو جاذب افزایش یافت؛ در حالی که از ظرفیت جذب کاسته می‌شد. کارایی حذف، همچنین با کاهش غلظت اولیه فل کاهش یافت. با افزایش pH محلول، کارایی حذف کاهش یافت. pH بهینه جذب^۳ بود. همچنین، بهترین نوع ایزوترم برای جاذب‌ها Langmuir و بهترین سینتیک واکنش، سینتیک درجه ۲ بود.

استنتاج: گیاهان عدسک و آزولا می‌توانند به عنوان جاذب‌های مؤثر و ارزان و در دسترس، برای حذف ترکیبات آلی از پساب صنایع مورد استفاده قرار گیرند. هر چند به علت مزیت‌های گیاه آزولا مانند فراوانی زیادتر، مزیت اصلی آن یعنی بالا بودن جذب فل نسبت به گیاه عدسک، گزینه ایده‌آل تری می‌باشد.

واژه‌های کلیدی: بیومس آزولا و عدسک آبی، فل، مدل ایزوترمی، جذب سطحی

مقدمه

میکروگرم در لیتر می‌باشد. فرایندهای متدائل حذف ترکیبات فلی از قبیل جذب سطحی، اکسیداسیون مرتبط با پراکسید، اکسیداسیون مرطوب با هوا، ازنزنی، روش‌های الکتروشیمیایی، پرتودهی وغیره است (۳). این روش‌ها دارای معایی نظر هزینه بالای تصفیه، نیاز به تصفیه اضافی، تشکیل فرآورده‌های جانبی خطرناک، راندمان پایین و قابلیت کاربرد برای غلظت‌های محدودی از آلاینده‌ها می‌باشد (۴).

روش‌های اولترافیلتراسیون و اسمز معکوس نیز به دلیل هزینه بهره‌برداری بسیار زیاد، اقتصادی نمی‌باشند (۵). در میان فرایندهای فیزیکوشیمیایی، تکنولوژی جذب به خاطر هزینه کم و راندمان بالا، به طور وسیعی در چند سال اخیر مورد توجه

فل و ترکیبات فلی، بسیار سمی و برای سلامتی انسان و موجودات آبزی مضر می‌باشند که در محیط‌های آبزی با مصرف اکسیژن، مشکلات فراوانی را برای این موجودات به وجود می‌آورند (۱). این آلاینده‌های آلی در غلظت‌های گوناگون از طریق فاضلاب صنایع پتروشیمی، تولید رزین و پلاستیک، کاغذ، پالایشگاه نفت، صنعت فولاد و آفت‌کش وارد محیط می‌گردند که غلظت آن‌ها در محیط‌های مختلف بین ۵ تا ۲۰۰ میلی گرم در لیتر متغیر می‌باشد (۲). رهنمود سازمان جهانی بهداشت (World health organization WHO) یا برای غلظت فل‌ها، کلروفنل‌ها در آب آشامیدنی کمتر از ۰/۱

E-mail: dbalarak2@gmail.com

مؤلف مسئول: داؤد بلارک - ساری: دانشگاه علوم پزشکی مازندران، داشکده بهداشت، کمیته تحقیقات دانشجویی

۱. داشیار، گروه مهندسی بهداشت محیط، مرکز تحقیقات علوم بهداشتی، داشکده بهداشت، دانشگاه علوم پزشکی مازندران، ساری، ایران

۲. استادیار، گروه آمار زیستی، مرکز تحقیقات علوم بهداشتی، داشکده بهداشت، دانشگاه علوم پزشکی مازندران، ساری، ایران

۳. داشجویی کارشناسی ارشد، گروه مهندسی بهداشت محیط، کمیته تحقیقات دانشجویی، داشکده بهداشت، دانشگاه علوم پزشکی مازندران، ساری، ایران

۴. تاریخ دریافت: ۱۳۹۲/۴/۸ تاریخ ارجاع جهت اصلاحات: ۱۳۹۲/۶/۲ تاریخ تصویب: ۱۳۹۲/۷/۱۳

بیومس خشک شده، شسته و در مقابل آفتاب خشک شد. پس از این مرحله، بیومس به دست آمده در هاون آسیاب و با استفاده از الک، در اندازه‌های ۱ تا ۲ میلی‌متری دانه‌بندی شد (۱۱).

مشخصات جاذب

سطح ویژه جاذب‌ها بر اساس جذب گاز ازت و محاسبات آن بر اساس نرم‌افزار Belsorp با دستگاه Gemini^{۲۳۷۵} شرکت Micromeritics و در پژوهشگاه مواد و انرژی کرج انجام شد.

روش انجام آزمایش

مطالعه حاضر در مقیاس آزمایشگاهی و به صورت ناپیوسته انجام گرفت. آزمایش‌های مربوط در ظروف واکنش ۲۰۰ میلی‌لیتری حاوی ۱۰۰ میلی‌لیتر محلول واکنش انجام شد. مهم ترین متغیرهای مورد بررسی در این پژوهش، شامل غلظت اولیه فنل (۵، ۱۰، ۲۰، ۴۰، ۶۰، ۸۰ و ۲۰۰ میلی‌گرم در لیتر)، pH (در گستره ۳، ۵، ۷، ۹ و ۱۱)، زمان تماس (۱۵، ۳۰، ۴۵، ۶۰، ۹۰، ۱۲۰، ۱۸۰ و ۲۴۰ دقیقه) و دوز جاذب (۰/۲-۰/۴ گرم) بودند که با توجه به مطالعات قبلی انتخاب و در مراحل جداگانه در طول تحقیق بررسی گردیدند (۱۴). برای انجام آزمایش‌ها، ابتدا زمان تعادل در شرایط ثابت ($\text{PH} = ۳$)، دوز جاذب ۱ گرم و غلظت اولیه فنل ۱۰ میلی‌گرم در لیتر) تعیین گردید. پس از تعیین زمان تعادل، آزمایش‌ها با ثابت نگه داشتن سه متغیر و تغییر دادن یک متغیر انجام شد. در هر بار آزمایش جذب، حجم مشخصی از محلول فنل مورد مطالعه با غلظت معین به داخل اrlen اضافه شد. شرایط مورد نظر تنظیم و دوز خاصی از جاذب به آن اضافه گردید. در همین مغناطیسی با ۱۸۰ دور در دقیقه مخلوط و نمونه مورد نظر با سانتریفوژ در ۳۶۰۰ دور در دقیقه به مدت ۱۰ دقیقه سانتریفوژ شد. برای جلوگیری از خطاهای احتمالی تمام آزمایش‌ها به صورت سه بار تکرار انجام شد.

روش آنالیز نمونه‌ها

برای اندازه‌گیری غلظت فنل باقی‌مانده از دستگاه HPLC (FN ۱۸ مدل Kenaver ساخت کشور آلمان) با ستون C₁₈ (قطر

محققین قرار گرفته است (۶).

عدسک آبی و آزولا فیلیکولودیس، گیاهان آبزی شناوری هستند که به سرعت در آب‌های راکد و برکه‌ها رشد می‌کنند و روی سطح آب را می‌پوشانند. در کشورمان نیز در تالاب‌های شمال کشور به خصوص تالاب انزلی، هر سال هزینه هنگفتی را صرف مبارزه با این گیاهان می‌کنند؛ اما به علت سرعت رشد بسیار بالای آن‌ها، هنوز راه حل متسابق برای حل این مشکل زیست محیطی پیدا نشده است (۷، ۸)؛ اما با توجه به خاصیت جذبی آن‌ها، در بسیاری از کشورهای دنیا از آن‌ها به عنوان جاذب با کارایی بالا و جذب سریع و ارزان قیمت برای حذف مواد آلی مثل رنگ‌ها و فلزات سنگین (کروم، روی، سرب، مس و آرسنیک) استفاده می‌کنند که در تمام موارد حذف بالای ۹۰ درصد است و نشان دهنده جاذب‌های مطلوب برای فرایند جذب سطحی می‌باشد (۹-۱۳). بنابراین با توجه به فراوانی گیاه آزولا و عدسک آبی و ارزان بودن آن‌ها، هدف اصلی این پژوهش استفاده از آزولا و عدسک آبی خشک شده به عنوان جاذب‌های مؤثر و ارزان قیمت و بررسی اثر آن‌ها در جذب فنل از فاضلاب‌های صنعتی بود.

مواد و روش‌ها

مواد مورد استفاده

در این مطالعه فنل، اسید کلریدریک و هیدروکسید سدیم‌از از شرکت Merck و اسید نیتریل مورد استفاده برای دستگاه (HPLC) High-performance liquid chromatography شرکت CALEDON تهیه شد. فنل دارای فرمول شیمیایی $\text{C}_6\text{H}_5\text{OH}$ با درجه خلوص ۹۹ درصد و دارای وزن مولکولی ۹۴/۱۱ گرم بر مول می‌باشد.

روش آماده‌سازی جاذب

ابتدا گیاه آزولا و عدسک از مزارع برنج شهر ساری جمع آوری و به آزمایشگاه انتقال داده شد. در آزمایشگاه تمیز و در فر در درجه حرارت ۱۰۵ سانتی‌گراد خشک گردید. با استفاده از هیدروکلریک اسید ۰/۱ مولار برای مدت ۵ ساعت

زمان تماس بهینه خوانده می‌شود. این تغییرات در میزان جذب در زمان‌های مختلف، شاید به این دلیل باشد که در زمان‌های تماس اولیه، اغلب نقاط موجود در سطح جاذب خالی است و تغییرات غلظت آلاینده در فاز مایع بیشتر است؛ از این‌رو با گذشت زمان، تعداد نقاط خالی موجود در سطح جاذب کمتر و منجر به کاهش سرعت جذب فل می‌شود. از طرفی، با گذشت زمان به دلیل افزایش نیروی دافعه موجود بین مولکول‌های آلاینده جذب شده در سطح جاذب، جذب آلاینده در نقاط خالی موجود در سطح جاذب با سرعت کمتری انجام می‌گیرد که این امر، منجر به طولانی شدن زمان جذب یا کاهش میزان جذب در واحد زمان می‌شود.^(۱۵)

با افزایش غلظت اولیه فل، میزان حذف کاهش می‌یابد؛ به طوری که میزان حذف در غلظت ۱۰ میلی گرم در لیتر برای گیاه آزولا و عدسک به ترتیب به ترتیب برابر ۹۷ و ۸۶ درصد و برای غلظت ۲۰۰ میلی گرم در لیتر، ۵۰ و ۳۷ درصد می‌باشد. با توجه به این که به ازای یک مقدار مشخص از یک جاذب، محل‌های جذب ثابت می‌باشد؛ بنابراین با افزایش غلظت اولیه فل، کارایی حذف کاهش می‌یابد. به عبارت دیگر، با افزایش غلظت فل از یک حد، به خاطر اشباع شدن مکان‌های جذب جاذب، جذبی صورت نمی‌گیرد و میزان فل باقی‌مانده در محلول آبی بیشتر خواهد بود.^(۱۶) همچنین با افزایش مقدار جاذب، درصد حذف فل نیز افزایش می‌یابد. در غلظت بالای ۱۰ گرم در لیتر، میزان جذب در حد تعادل می‌باشد. افزایش جذب فل با افزایش مقدار جاذب را می‌توان در نتیجه افزایش میزان سطح فعال و مؤثر در جذب دانست. هر چند افزایش دوز جاذب، باعث افزایش راندمان جذب فل می‌گردد؛ اما به دلیل غیر اشباع ماندن برخی از نقاط فعال موجود در سطح جاذب و عدم استفاده کامل از ظرفیت جاذب، میزان جذب در واحد جرم جاذب کاهش می‌یابد.^(۱۷) نتایج مربوط به تأثیر دوز جاذب و غلظت فل در جدول شماره ۱ آمده است.

pH تأثیر

بررسی تأثیر pH بر روی کارایی جذب فل در سیستم مورد مطالعه با تغییر در pH از ۳ تا ۱۱ انجام شد و همان‌طوری

داخلی ۴/۶ و طول ۲۵۰ میلی‌متر) و فاز حامل استونیتریل و بافر با نسبت ۶۰ به ۴۰ استفاده گردید. برای سنجش، ابتدا منحنی کالیبراسیون با ۱۰ غلظت مختلف از فل رسم گردید که آن برابر با ۹۹۹/۰ بود. آنالیز و تفسیر داده‌ها نیز با استفاده از نرم‌افزار Excel و ضریب رگرسیون صورت گرفت. آزمون‌های لازم برای تعیین ایزوترم‌های جذب با انتخاب شرایط پایه، شامل مقدار جاذب ۱۰ گرم در لیتر، غلظت اولیه فل ۲۵ تا ۲۰۰ میلی گرم در لیتر در pH برابر ۳ انجام شد. در این تحقیق، از دو نوع مدل ایزوترمی Freundlich و Langmuir برای بررسی نتایج استفاده گردید. مدل‌های سینتیکی برای جذب، مدل‌های درجه صفر، درجه ۱ و درجه ۲ می‌باشد که در این تحقیق استفاده شد.^(۱۴)

یافته‌ها و بحث

مشخصات جاذب

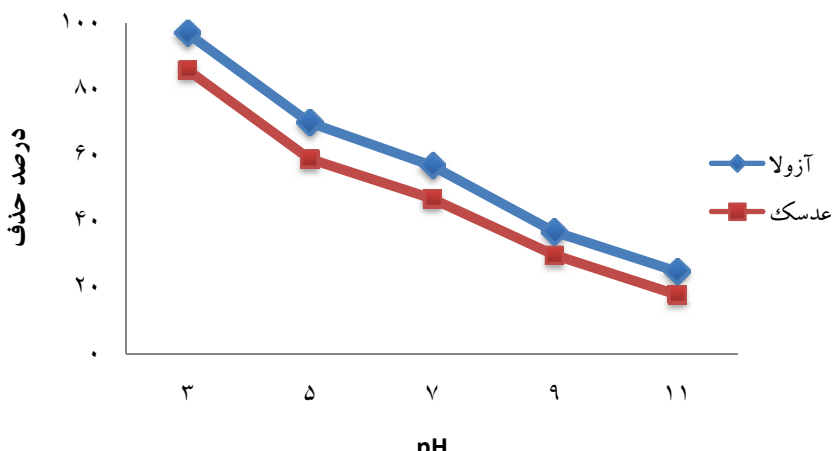
آزولا و عدسک مورد استفاده دارای سطح ویژه 4 ± 36 و 30 ± 3 مترمربع در هر گرم جاذب بود که در تکرار ۳ بار به دست آمد و این نشان دهنده آن است که جاذب‌ها دارای سطح ویژه مناسبی برای جذب بودند. یکی از عوامل مهم برای انتخاب جاذب، سطح ویژه جاذب است و هر قدر سطح ویژه ماده بیشتر باشد، ماده دارای خلل و فرج بیشتر و در نتیجه سطح تماس بالاتری با ماده جذب شونده خواهد بود. نتایج نشان دهنده بهتر بودن گیاه آزولا نسبت به عدسک از نظر جذب سطحی می‌باشد. هر دو جاذب نسبت به پوست بادام و گردو که دارای سطح ۱۴/۶ مترمربع به ازای هر گرم می‌باشند، دارای سطح مناسبی برای جذب بودند؛ اما سطح ویژه آن‌ها به طور تقریبی برابر با جاذب گل قرمز بود.^(۱۴)

تأثیر زمان تماس، غلظت اولیه فل و دوز جاذب

همان‌طور که در جدول شماره ۱ نشان داده شده است، با افزایش زمان تماس تا ۹۰ دقیقه، میزان حذف افزایش می‌یابد؛ اما با افزایش زمان تماس از ۹۰ دقیقه، میزان حذف به طور تقریبی ثابت می‌باشد. بنابراین، زمان تماس ۹۰ دقیقه به عنوان

جدول شماره ۱: تأثیر زمان تماس، غلظت اولیه فنل و دوز جاذب بر روی کارایی حذف

زمان تماس (در دقیقه)	حذف آزولا (درصد)	حذف عدسک (درصد)	دوز جاذب (درصد)	حذف عدسک (درصد)	حذف آزولا (درصد)	غلهٔ فنل (درصد)	حذف عدسک (درصد)	حذف آزولا (درصد)	دوز جاذب (گرم در لیتر)، غلظت فنل (میلی گرم در لیتر)
۱۵	۴۱	۳۵	۳۵	۵	۸۸	۸۷	۲	۲۹	۳۷
۳۰	۶۴	۵۷	۹۷	۱۰	۹۷	۸۳	۴	۴۸	۶۳
۴۵	۷۹	۷۰	۸۷	۲۰	۷۶	۶	۶۲	۶۲	۸۱
۶۰	۹۱	۷۹	۸۳	۴۰	۶۹	۸	۷۵	۷۵	۹۲
۹۰	۹۷	۸۶	۷۵	۶۰	۶۴	۱۰	۸۶	۸۶	۹۷
۱۲۰	۹۷	۸۶	۸۰	۸۶	۶۸	۱۲	۸۶	۸۶	۹۷
۱۸۰	۹۷	۸۶	۸۶	۸۶	۶۱	۱۴	۵۳	۸۶	۹۷
۲۴۰	۹۷	۸۶	۲۰۰	۸۶	۵۰	۱۶	۳۷	۸۶	۹۷



نمودار شماره ۱: تأثیر pH بر روی کارایی حذف (دوز جاذب ۱۰ g/l، غلظت فنل ۱۰ mg/l و زمان تماس ۹۰ دقیقه)

نتایج حاصل از مدل‌های ایزووترمی و سنتیکی در جداول شماره ۲ و ۳ آمده است. در تمامی حالات، معادلات از ضریب همبستگی بسیار خوبی برخوردار است و این نشان دهنده هماهنگ بودن نتایج آزمایش‌های این تحقیق با مدل‌های ایزووترم‌های BET، Langmuir و Freundlich (Brunauer emmet teller) و تمکین می‌باشد، هر چند که برای جاذب آزولا و عدسک، ایزووترم Langmuir از سایر ایزووترم‌ها بهتر پیروی می‌کند و نشان دهنده جذب لایه‌ای فنل بر روی جاذب است. از طرف دیگر، مقدار متغیر $1/n$ در صورتی که بین ۰ و ۱ قرار داشته باشد، نشان دهنده ناهمگنی سطح و جذب سطحی مطلوب و خوب خواهد بود که در این آزمایش، برای گیاه آزولا و عدسک بین ۰ و ۱ قرار داشت. این امر نشان دهنده تعیت داده‌ها از معادله Freundlich خواهد بود.

که در نمودار شماره ۱ نشان داده شده است، در pH اسیدی میزان حذف بالا بود و با افزایش pH میزان حذف کاهش یافت. بنابراین pH بهینه برای جذب فنل ۳ بوده است. علت این پدیده به ساختار آئیونی فنل مربوط می‌شود. میزان جذب در pH اسیدی برای گیاه آزولا و عدسک به ترتیب ۷۰ و ۶۱ درصد اختلاف با میزان جذب در pH قلیایی داشته است و این تفاوت، به خاطر این است که pH بر روی شارژ الکتریکی سطح جاذب اثر می‌گذارد و درجه یونیزاسیون فنل را تغییر می‌دهد (۴). بخش یونی فنل (ϕ_{ions}) توسط رابطه زیر به دست می‌آید. همان‌طور که در فرمول مشخص است، با افزایش pH ϕ_{ions} کاهش می‌یابد و با توجه به این که فنل اسید ضعیفی است، بنابراین در pH بالا به مقدار ناجیزی تغییر می‌شود (۱۹).

$$\phi_{ions} = \left[\frac{1}{1 + 1^{(PKa - pH)}} \right]$$

جدول شماره ۲: ضرایب مدل‌های ایزوترمی

Freundlich				Langmuir				تمکین		BET			نام مدل
K	n	R ^r	q _m	b	R ^r	b	kt	R ^r	A	X _m	R ^r	پارامتر	
۰/۲۲۵	۴/۷۱	۰/۹۸۸	۱۱/۲	۱/۴۰	۰/۹۹۷	۶۱/۴	۴/۷۱	۰/۹۲۶	۲۵/۲	۰/۱۸۱	۰/۹۹۳	آزولا	
۰/۳۱۲	۳/۷۰	۰/۹۸۰	۹/۴	۱/۲۵	۰/۹۷۳	۶۲/۶	۴/۸۹	۰/۹۴۵	۲۳/۸	۰/۱۹۲	۰/۹۱۷	عدسک	

BET: Brunauer Emmet Teller

جدول شماره ۳: ضرایب ثابت و ضرایب همبستگی مدل‌های سیتیکی

co (mg/l)	K _r (g/mg.min)	سیتیک درجه ۱				سیتیک درجه صفر				R ^r	q
		R ^r	q	K ₁ (l/min)	R ^r	q (mg/g)	K _m (l/min)				
۱۰	۰/۳۲۰	۰/۹۷۴	۱/۹۰	۰/۰۹۴	۰/۷۱۲	۲/۰۷	۰/۰۶۹	۰/۷۴۳	۲/۰۰		
۲۰	۰/۴۴۰	۰/۹۹۱	۲/۴۰	۰/۱۱۴	۰/۷۹۴	۳/۱۰	۰/۰۷۸	۰/۸۱۷	۳/۳۰		
۵۰	۰/۵۹۰	۰/۹۹۹	۷/۲۰	۰/۱۳۲	۰/۸۷۰	۶/۸۰	۰/۰۹۴	۰/۹۲۲	۷/۱۰	عدسک	
۱۰	۰/۲۷۰	۰/۹۴۵	۱/۷۰	۰/۰۸۱	۰/۷۹۰	۱/۹۵	۰/۰۶۵	۰/۷۱۰	۱/۶۴		
۲۰	۰/۳۴۰	۰/۹۷۸	۲/۹۰	۰/۱۰۳	۰/۸۴۰	۲/۷۵	۰/۰۷۴	۰/۷۹۰	۲/۹۸		
۵۰	۰/۴۲۰	۰/۹۹۱	۶/۶۰	۰/۱۲۴	۰/۹۳۰	۶/۲۵	۰/۰۸۳	۰/۸۴۰	۶/۷۰		

به دست آمده درباره حذف فل با جاذب‌های مختلف همخوانی دارد (۲۷-۲۴).

در پایان، پیشنهاد می‌شود در تحقیقات بعدی به اندازه‌گیری مقدار اکسیژن شیمیایی محلول بعد از افزودن جاذب و جذب سایر ترکیبات آلی- فتلی پرداخته شود. بر اساس نتایج به دست آمده از این تحقیق، بیومس گیاه آزولا و عدسک آبی قادر هستند در شرایط بهینه به ترتیب حدود ۹۷ و ۸۶ فتل را در غلاظت‌های پایین حذف نمایند و میزان حذف به متغیرهایی مانند زمان تماس، pH، دوز جاذب و غلاظت اولیه ترکیبات آلی بستگی دارد.

سپاسگزاری

نویسنده‌گان این مقاله لازم می‌دانند از حمایت‌های مالی معاونت تحقیقات دانشگاه علوم پزشکی مازندران و گروه بهداشت محیط دانشکده بهداشت که در اتمام پایان نامه کارشناسی ارشد همکاری نمودند، تشکر و قدردانی نمایند.

در صورتی که ملاک فقط ضریب همبستگی باشد، بیشتر بودن تبعیت داده‌ها از معادله Langmuir نسبت به Freundlich و تمکین مشاهده شده که در ایزوترم‌های مطالعاتی که با پامیس اصلاح شده، خاکستر پر شترمرغ، کربن فعال و پوست بادام و گردو انجام شده است، به طور کامل همخوانی دارد (۲۳-۲۰).

یکی از متغیرهای مهمی که در معادلات جذب برای پیش‌بینی مناسب بودن یا نبودن جذب بایستی تعیین گردد، ضریب بدون بعد (R_L) می‌باشد که نشان دهنده شرایط جذب آلاینده در سطح جاذب است. اگر R_L بین ۰ و ۱ باشد، نشان دهنده جذب مناسب است. در این مطالعه، بر اساس غلاظت اولیه استفاده شده و مقدار b ایزوترم Langmuir، مقدار عددی این متغیر برای گیاه آزولا و عدسک به ترتیب برابر با ۰/۰۶۰ و ۰/۰۷۵ می‌باشد که بیانگر جذب مناسب فل است. همچنین با توجه به داده‌های سیتیکی، سیتیک درجه دوم بهترین نوع سیتیک برای حذف فل از محلول‌های آبی می‌باشد که نشان دهنده سرعت خوب واکنش است و با نتایج

References

1. Roostaei N, Roostaei H. Removal of phenol from aqueous solutions by adsorption. Journal of Environmental Management 2004; 70(2): 157-64.
2. Diyanati R, Yousefi Z, Yazdani Cherati J, Balarak D. Investigating Phenol Absorption from Aqueous Solution by Dried Azolla. J Mazandaran Univ Med Sci 2013; 22(2): 13-20. (Persian).
3. Ghanizadeh Gh. Application of enzymatic polymerization process for the removal of phenol from synthetic wastewater. Iranian Journal of Health and Environment 2009; 2(1): 46-55.
4. Banat FA, Al-Bashir B, Al-Asheh S, Hayajneh O. Adsorption of phenol by bentonite. Environ Pollut 2000; 107(3): 391-8.
5. Shen YH. Removal of phenol from water by adsorption-flocculation using organobentonite. Water Res 2002; 36(5): 1107-14.
6. Gholizadeh A, Kermani M, Gholami M, Farzadkia M. Comparative Investigation of 2-Chlorophenol and 4-Chlorophenol Removal Using Granulated Activated Carbon and Rice Husk Ash. Toloo-Behdasht (TB) 2013; 11(3): 66-78. (Persian).
7. Filizadeh Y. An ecological investigation into the excessive growth of azolla in the Anzali lagoon and its control. Iran Natural Resources 2002; 55(1): 65-80. (Persian).
8. Diyanati R, Yazdani Cherati J, Balarak D. Effect of Sorbitol on Phenol Removal Rate by Lemna Minor. J Mazandaran Univ Med Sci 2013; 22(2): 58-65. (Persian).
9. Tan C, Li G, Lu X, Chen Z. Biosorption of Basic Orange using dried *A. filiculoides*. Ecological Engineering 2010; 36(10): 1333-40.
10. Zazouli MA, Balarak D, Mahdavi Y. Pyrocatechol Removal from Aqueous Solutions by Using Azolla Filiculoides. Health Scope 2013; 2(1): 25-30.
11. Zazouli MA, Balarak D, Mahdavi Y. Effect of Azolla filiculoides on removal of reactive red 198 in aqueous solution. J Adv Environ Health Res 2013; 1(1): 44-50.
12. Zhao M, Duncan JR. Removal and recovery of nickel from aqueous solution and electroplating rinse effluent using Azolla filiculoides. Process Biochemistry 1998; 33(3): 249-55.
13. Zhao M, Duncan JR, van Hille RP. Removal and recovery of zinc from solution and electroplating effluent using Azolla filiculoides. Water Res 1999; 33(6): 1516-22.
14. Zazouli MA, Balarak D, Mahdavi Y, Barafrahestehpour M, Barafrahestehpour M. Adsorption of bisphenol from industrial wastewater by modified red mud. Journal of Health and Development 2013; 2(1): 1-11. (Persian).
15. Zazouli M, Yazdani J, Balarak D, Ebrahimi M, Mahdavi Y. Investigating the Removal Rate of Acid Blue 113 from Aqueous Solution by Canola. J Mazandaran Univ Med Sci 2013; 22(2): 71-8. (Persian).
16. Bekkouche S, Bouhelassa M, Hadj Salah N, Meghlaoui FZ. Study of adsorption of phenol on titanium oxide (TiO₂). Desalination 2004; 166: 355-62.
17. Srivastava VC, Swamy MM, Mall ID, Prasad B, Mishra IM. Adsorptive removal of phenol by bagasse fly ash and activated carbon: Equilibrium, kinetics and thermodynamics. Colloids and Surfaces A: Physicochemical and Engineering Aspects 2006; 727(1-2): 89-104.
18. Huang J, Wang X, Jin Q, Liu Y, Wang Y. Removal of phenol from aqueous solution by adsorption onto OTMAC-modified attapulgite. J Environ Manage 2007; 84(2): 229-36.
19. Maleki A, Mahvi AH. Application of agricultural weast in removal of phenol from aqueous solutions. Hormozgan Med J 2005; 10(4): 393-9. (Persian).
20. Moussavi G, Mahmoudi M, Barikbin B. Biological removal of phenol from strong wastewaters using a novel MSBR. Water Res 2009; 43(5): 1295-302.
21. Daraei H, Manshouri M, Yazdanbakhsh A. Removal of Phenol from Aqueous Solution Using Ostrich Feathers Ash. J Mazandaran Univ Med Sci 2010; 20(79): 81-7. (Persian).
22. Saeedi M, Pajohedhfar SP. Survey Removal of phenol from contaminated water using activated carbon and carbon skin almonds and walnuts. Journal of Environmental Sciences and Technology 2009; 10(4): 218-31. (Persian).
23. Jaafari SJ, Shokouhi R, Hosseinzadeh E, Taghavi M, Arezoumandi R, Ahadi H. Removal of reactive black 5 (rb5) dye from aqueous solution by using of adsorption on to activated red mud: Kinetic and equilibrium study. Journal of Health Sciences 2012; 4(1): 57-67. (Persian).
24. Gulbeyi D, Cicek H, Dursun AY. Adsorption of phenol from aqueous solution by using carbonised beet pulp. Journal of Hazardous Materials 2013; 125(1-3): 175-82.
25. El-Naas M, Al-Zuhair S, Alhaija M. Removal of phenol from petroleum refinery wastewater through adsorption on date-pit activated carbon. Chemical Engineering Journal 2010; 162(3): 997-1005.
26. Zazouli MA, Balarak D, Mahdavi Y. Application of azolla for 2-Chlorophenol and 4-Chlorophenol Removal from aqueous solutions. Iranian Journal of Health Sciences 2013; 1(2): 45-55. (Persian).
27. Zazouli MA, Balarak D, Mahdavi Y, Ebrahimi M. Adsorption rate of 198 reactive red dye from aqueous solutions by using activated red mud. Iranian Journal of Health Sciences 2013; 1(1): 36-43. (Persian).